

第七章 应力和应变分析

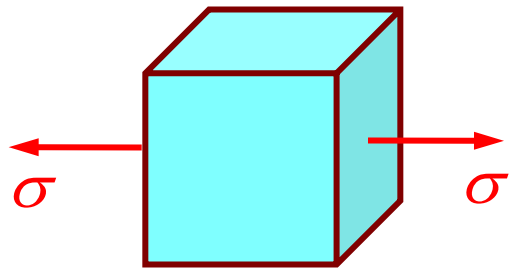
强度理论（四）

第 20 讲

§ 7.9 复杂应力状态下的应变能密度

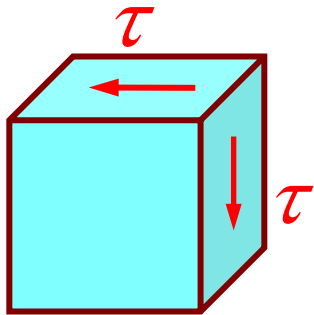
一、应变能密度的计算（各向同性材料）

1. 单轴拉伸情形的应变能密度



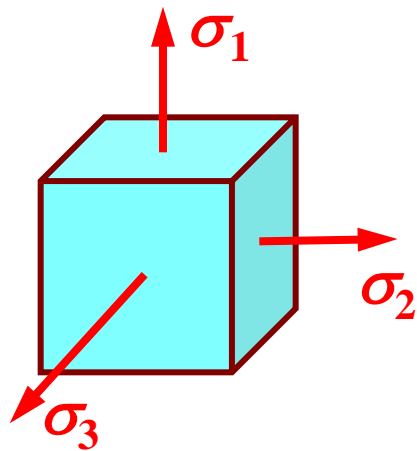
$$v_{\varepsilon} = \frac{1}{2} \sigma \varepsilon = \frac{1}{2E} \sigma^2 = \frac{1}{2} E \varepsilon^2$$

2. 纯剪切应力状态情形的应变能密度



$$v_{\varepsilon} = \frac{1}{2} \tau \gamma = \frac{1}{2G} \tau^2 = \frac{1}{2} G \gamma^2$$

3. 主单元体的应变能密度

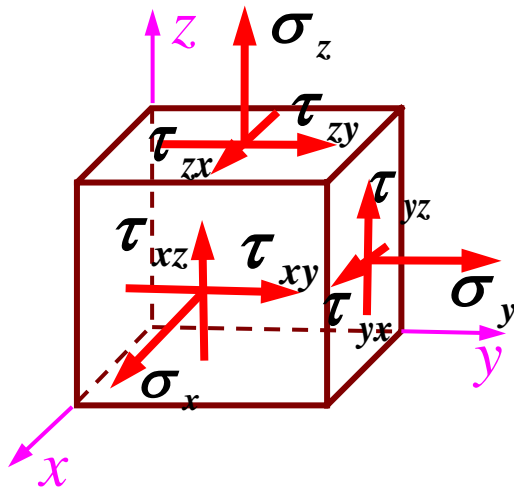


弹性体的应变能，与施加力的次序无关。在线弹性范围内，每一主应力与相应的主应变之间保持线性关系

$$\begin{aligned} v_\varepsilon &= \frac{1}{2} \sigma_1 \varepsilon_1 + \frac{1}{2} \sigma_2 \varepsilon_2 + \frac{1}{2} \sigma_3 \varepsilon_3 \\ &= \frac{1}{2E} [\sigma_1^2 + \sigma_2^2 + \sigma_3^2 - 2\mu(\sigma_1 \sigma_2 + \sigma_3 \sigma_2 + \sigma_1 \sigma_3)] \end{aligned}$$

4. 一般单元体的应变能密度

$$\begin{aligned} v_\varepsilon &= \frac{1}{2} (\sigma_x \varepsilon_x + \sigma_y \varepsilon_y + \sigma_z \varepsilon_z) \\ &\quad + \frac{1}{2} (\tau_{xy} \gamma_{xy} + \tau_{yz} \gamma_{yz} + \tau_{zx} \gamma_{zx}) \end{aligned}$$



二、体积改变能密度和形状改变能密度

体应变的定义

$$V = dx dy dz$$

$$V_1 = (1 + \varepsilon_1) dx (1 + \varepsilon_2) dy (1 + \varepsilon_3) dz$$

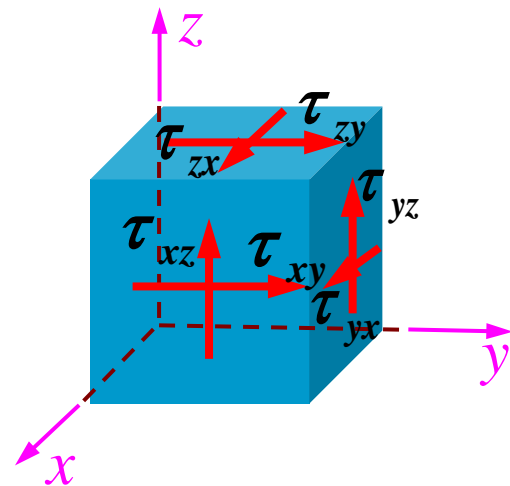
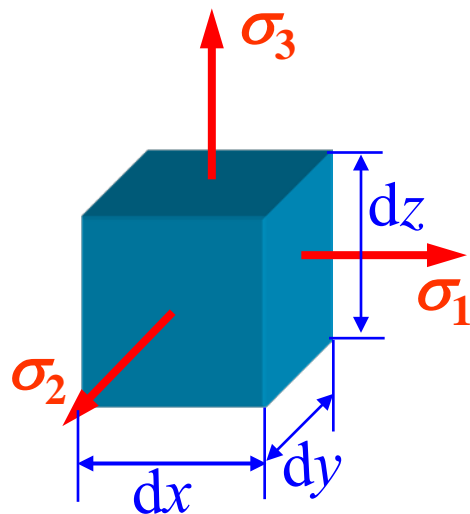
$$\approx (1 + \varepsilon_1 + \varepsilon_2 + \varepsilon_3) dx dy dz$$

体应变 (volume strain) :

$$\theta = \frac{V_1 - V}{V} = \varepsilon_1 + \varepsilon_2 + \varepsilon_3$$

只有切应力作用情形，
是否会产生体应变？

此时不产生体积改变，
但会发生形状改变！



体应变:

$$\theta = \frac{V_1 - V}{V} = \varepsilon_1 + \varepsilon_2 + \varepsilon_3$$

$$\begin{cases} \varepsilon_1 = \frac{1}{E} [\sigma_1 - \mu(\sigma_2 + \sigma_3)] \\ \varepsilon_2 = \frac{1}{E} [\sigma_2 - \mu(\sigma_3 + \sigma_1)] \\ \varepsilon_3 = \frac{1}{E} [\sigma_3 - \mu(\sigma_2 + \sigma_1)] \end{cases}$$

利用广义胡克定律,

各向同性材料体应变与应力分量间的关系:

$$\theta = \frac{1-2\mu}{E} (\sigma_1 + \sigma_2 + \sigma_3) = \frac{1-2\mu}{E} (\sigma_x + \sigma_y + \sigma_z)$$

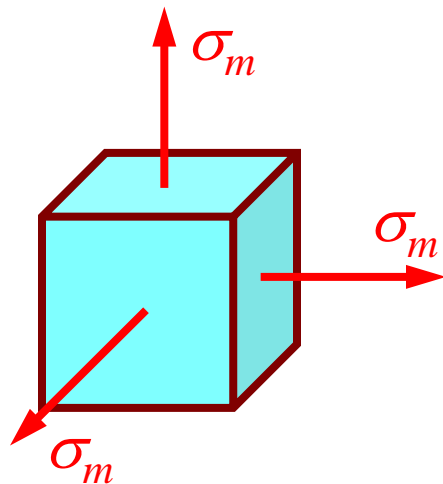
特别地: $\mu = 0.5$: $\theta = 0$ 称为不可压缩材料

各向同性材料, 体应变与切应力无关!

为了剖析应变能同体积改变和形状改变的关系，引入平均应力（三个主应力的平均值）

$$\sigma_m = \frac{1}{3}(\sigma_1 + \sigma_2 + \sigma_3)$$

在平均应力作用下，单元体的形状不变，仅发生体积改变

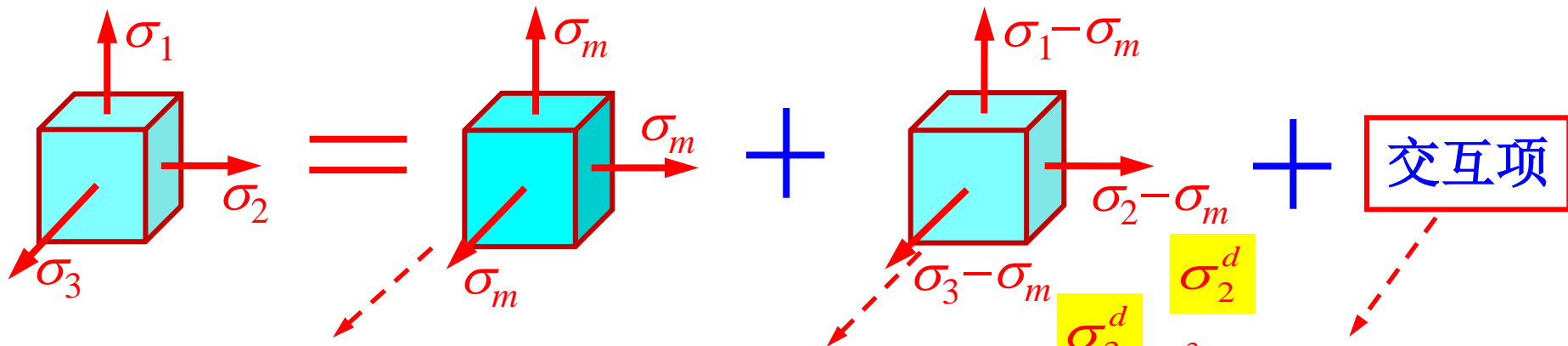


$$\theta = \frac{1-2\mu}{E}(\sigma_1 + \sigma_2 + \sigma_3) = 3(1-2\mu)\frac{\sigma_m}{E}$$

$$\theta \propto \sigma_m \quad K = \frac{\sigma_m}{\theta} = \frac{E}{3(1-2\mu)} \quad \begin{array}{l} \text{体积模量} \\ \text{bulk modulus} \end{array}$$

当 $\mu \rightarrow 0.5$, $K \rightarrow \infty$

按迭加原理（应力）



体积改变能密度

$$v_v = \frac{1}{2}(\sigma_m \varepsilon_m + \sigma_m \varepsilon_m + \sigma_m \varepsilon_m) \\ = \frac{3}{2} \sigma_m \varepsilon_m$$

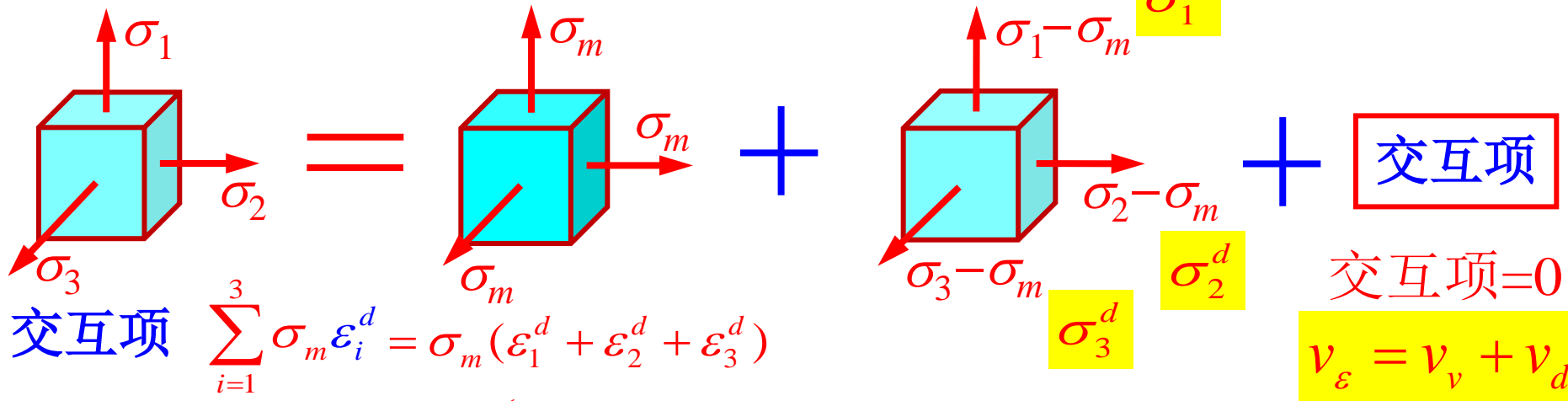
形状改变能密度
(畸变能密度)

$$v_d = \frac{1}{2} \sum_{i=1}^3 \sigma_i^d \varepsilon_i^d$$

$$= \sum_{i=1}^3 \sigma_m \varepsilon_i^d \text{ 先施加 } \sigma_m \\ = \sum_{i=1}^3 \sigma_i^d \varepsilon_m \text{ 先施加 } \sigma_i^d$$

注意：应力迭加没有交互项，应变能计算应有交互项

考察交互项:



交互项 $\sum_{i=1}^3 \sigma_m \varepsilon_i^d = \sigma_m (\varepsilon_1^d + \varepsilon_2^d + \varepsilon_3^d)$

交互项=0

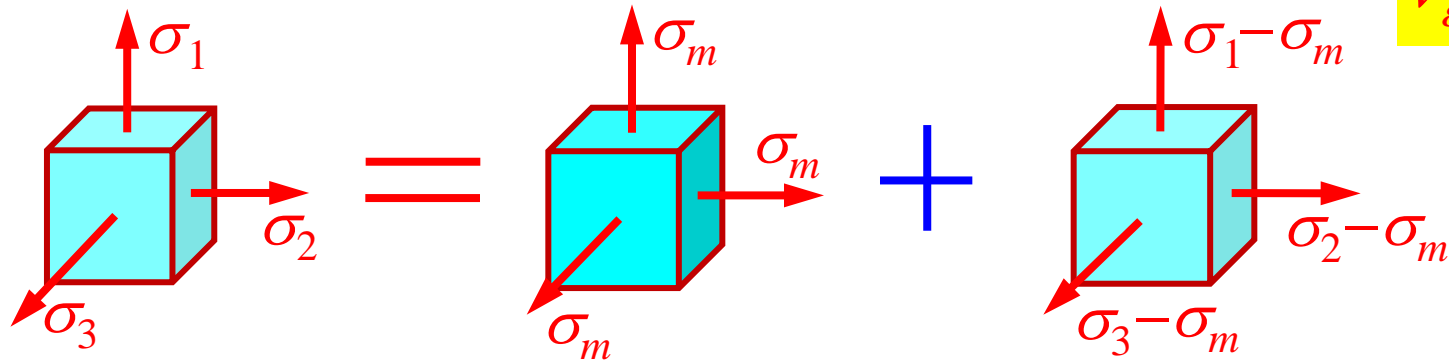
$v_\varepsilon = v_v + v_d$

$$\begin{aligned}
 &= \sigma_m \times \left\{ \frac{1}{E} [(\sigma_1 - \sigma_m) - \mu[(\sigma_2 - \sigma_m) + (\sigma_3 - \sigma_m)]] \right. \\
 &\quad + \frac{1}{E} [(\sigma_2 - \sigma_m) - \mu[(\sigma_3 - \sigma_m) + (\sigma_1 - \sigma_m)]] \\
 &\quad \left. + \frac{1}{E} [(\sigma_3 - \sigma_m) - \mu[(\sigma_1 - \sigma_m) + (\sigma_2 - \sigma_m)]] \right\} \\
 &= \sigma_m \times \frac{1}{E} \{ [(\sigma_1 + \sigma_2 + \sigma_3) - 3\sigma_m] - 2\mu[(\sigma_1 + \sigma_2 + \sigma_3) - 3\sigma_m] \} = 0 \\
 &= \sum_{i=1}^3 \sigma_i^d \varepsilon_m = \varepsilon_m \times [(\sigma_1 - \sigma_m) + (\sigma_2 - \sigma_m) + (\sigma_3 - \sigma_m)] \\
 &= \varepsilon_m \times [(\sigma_1 + \sigma_2 + \sigma_3) - 3\sigma_m] = 0
 \end{aligned}$$

另一种方式
计算交互项

体积改变能密度和畸变能密度的具体表达式

$$v_{\varepsilon} = v_v + v_d$$



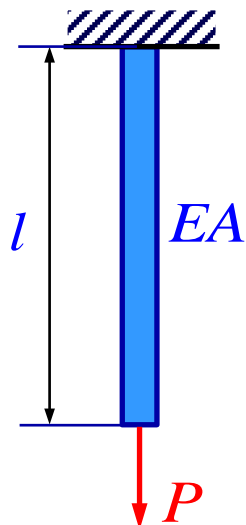
$$v_{\varepsilon} = \frac{1}{2} \sigma_1 \varepsilon_1 + \frac{1}{2} \sigma_2 \varepsilon_2 + \frac{1}{2} \sigma_3 \varepsilon_3 = \frac{1}{2E} [\sigma_1^2 + \sigma_2^2 + \sigma_3^2 - 2\mu(\sigma_1\sigma_2 + \sigma_2\sigma_3 + \sigma_1\sigma_3)]$$

$$v_v = \frac{1}{2} \sigma_m \varepsilon_m \times 3 = \frac{3}{2} \times \frac{1-2\mu}{E} \sigma_m^2 = \frac{1-2\mu}{6E} (\sigma_1 + \sigma_2 + \sigma_3)^2$$

$$\sigma_m = \frac{1}{3}(\sigma_1 + \sigma_2 + \sigma_3), \quad \varepsilon_m = \frac{1}{E} [\sigma_m - \mu(\sigma_m + \sigma_m)] = \frac{1-2\mu}{E} \sigma_m$$

$$\begin{aligned} v_d = v_{\varepsilon} - v_v &= \frac{1+\mu}{3E} (\sigma_1^2 + \sigma_2^2 + \sigma_3^2 - \sigma_1\sigma_2 - \sigma_2\sigma_3 - \sigma_1\sigma_3) \\ &= \frac{1+\mu}{6E} [(\sigma_1 - \sigma_2)^2 + (\sigma_2 - \sigma_3)^2 + (\sigma_3 - \sigma_1)^2] \end{aligned}$$

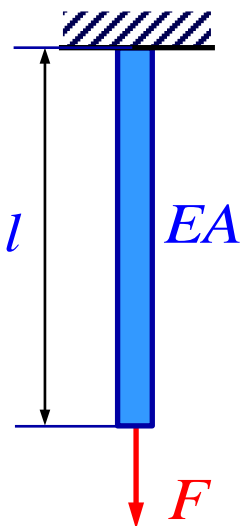
关于应变能交互项的理解



施加力 P ，杆件内
积蓄的应变能为

$$V_{\varepsilon,P} = \frac{1}{2} P \cdot \Delta l_P$$
$$= \frac{1}{2} P \cdot \frac{Pl}{EA} = \frac{P^2 l}{2EA}$$

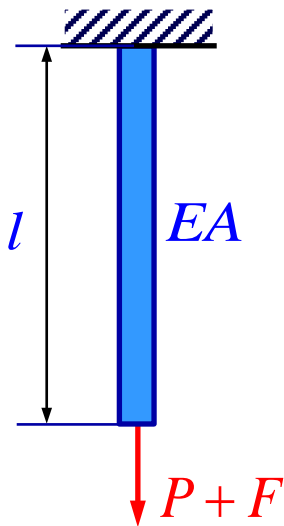
+



施加力 F ，杆件内
积蓄的应变能为

$$V_{\varepsilon,F} = \frac{1}{2} F \cdot \Delta l_F$$
$$= \frac{1}{2} F \cdot \frac{Fl}{EA} = \frac{F^2 l}{2EA}$$

=

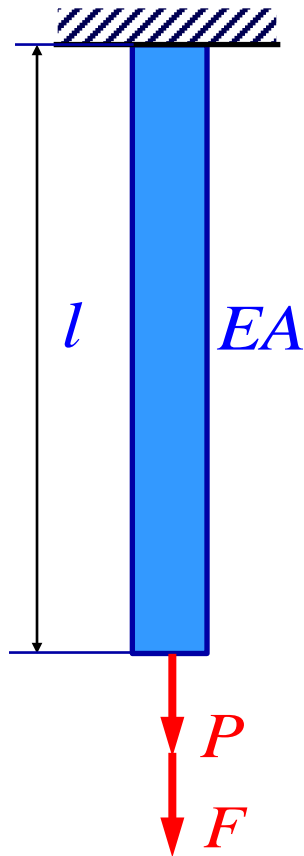


施加力 $P+F$ ，杆件内
积蓄的应变能为

$$V_{\varepsilon,P+F} = \frac{1}{2} (P+F) \cdot (\Delta l)_{P+F}$$
$$= \frac{1}{2} (P+F) \cdot \frac{(P+F)l}{EA} = \frac{(P+F)^2 l}{2EA}$$

显然 $V_{\varepsilon,P} + V_{\varepsilon,F} \neq V_{\varepsilon,P+F}$ 。 可见，通常交互项不为零！

关于应变能交互项的理解（续）



交互项

$$V_{\varepsilon, P+F} = \frac{(P+F)^2 l}{2EA} = \frac{P^2 l}{2EA} + \frac{F^2 l}{2EA} + \frac{PFl}{EA}$$
$$V_{\varepsilon, P} = \frac{P^2 l}{2EA}$$
$$V_{\varepsilon, F} = \frac{F^2 l}{2EA}$$

交互项

先施加力 P ，杆件伸长了 $\Delta l_P = \frac{Pl}{EA}$

再施加力 F ，杆件又进一步伸长了 $\Delta l_F = \frac{Fl}{EA}$

此时由于力 P 已预先作用在杆件上，因此由于杆件的进一步伸长，力 P 将继续做功

$$W_P = P \cdot \Delta l_F = \frac{PFl}{EA}$$

小 结

应变能密度 $v_\varepsilon = v_v + v_d$

$$v_\varepsilon = \frac{1}{2E} \left[\sigma_1^2 + \sigma_2^2 + \sigma_3^2 - 2\mu(\sigma_1\sigma_2 + \sigma_3\sigma_2 + \sigma_1\sigma_3) \right]$$

体积改变能密度

$$v_v = \frac{1-2\mu}{6E} (\sigma_1 + \sigma_2 + \sigma_3)^2$$

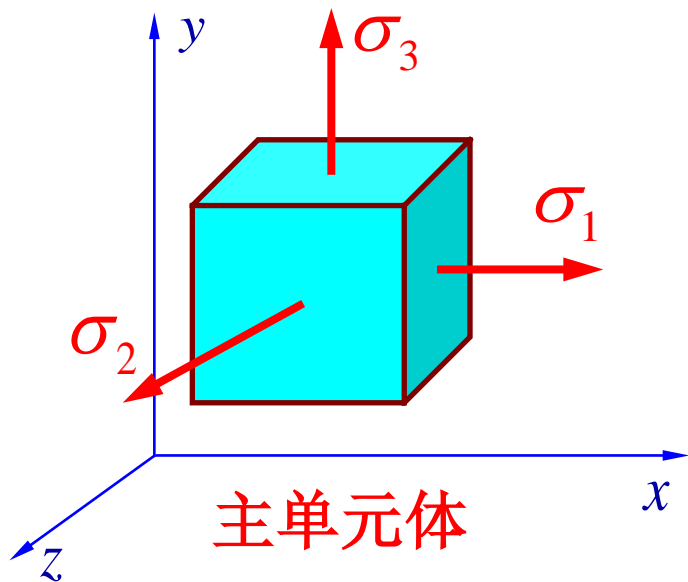
畸变能密度

$$v_d = \frac{1+\mu}{6E} \left[(\sigma_1 - \sigma_2)^2 + (\sigma_2 - \sigma_3)^2 + (\sigma_3 - \sigma_1)^2 \right]$$

§ 7.10 强度理论概述

为何要建立强度条件？ ➡ 强度理论

逐一由试验建立失效判据的不可能性（试验的工作量太大）



$\frac{\sigma_1}{\sigma_2}$ 有无穷多个比例值

不可能一一做出实验

最好希望：依据单向拉压的强度标准提出一个准则

强度理论：基于“构件发生失效的现象”，**假设**是由于某一因素引起的，且引起失效的原因与应力状态无关。

建立强度理论的思路

1. 简单实验定标准值—拉伸实验得许用应力
2. 从某个**失效形态**引出失效准则
3. 从**失效准则**导出强度理论的具体公式

一、失效形态（ Failure form pattern ）

脆性材料（铸铁、石料、陶瓷）—**脆性断裂**

塑性材料（钢、铜、铝、聚合材料）—**塑性屈服**

二、失效准则（ Failure criteria ）

材料发生脆性断裂或塑性屈服的具体原因

四种强度理论

早在十七世纪，当时的生产水平很低，工程上主要使用铸铁和砖石等脆性材料，人们根据这些材料的破坏规律提出了关于脆性断裂的强度理论，主要是最大拉应力理论和最大拉应变理论。

进入十九世纪中期，随着生产的发展，铁路和桥梁的不断修建，大量使用钢材等塑性材料，从而根据这些材料的破坏规律提出了塑性屈服的强度理论，进而有莫尔强度理论和双剪应力强度理论等。

这里按历史发展顺序介绍几个工程上常用的强度理论。

§ 7.11 四种常用强度理论

1. 最大拉应力理论（第一强度理论）

Galileo 1638年提出

考虑的是砖石(铸铁)强度的问题。

《失效准则》

最大拉应力 σ_1 是引起材料断裂的原因。

具体说：无论处于什么应力状态，只要构件内一点处的最大拉应力达到了材料的极限应力（单向拉伸的强度极限），就会发生断裂破坏。

脆性断裂的判据（或极限条件） $\sigma_1 = \sigma_u$

强度条件 $\sigma_1 \leq [\sigma]$

《应用评价》

二向：当 $\sigma_1 \geq \sigma_2 > 0$ 该理论与实验基本一致

三向：当 $\sigma_1 \geq \sigma_2 \geq \sigma_3 > 0$ 同上

当主应力中有压应力时，若 $|\sigma_3| < \sigma_1$ 同上

当主应力中有压应力时，若 $|\sigma_3| > \sigma_1$ 误差较大

三向压应力不适用。

2. 最大伸长线应变理论（第二强度理论）

1682年，E. Mariotte 提出

《失效准则》

最大伸长线应变 ε_1 是引起材料断裂的原因

具体说：无论处于什么应力状态，只要构件内一点处的最大线应变达到了极限值（单向拉伸的应变极限），就发生断裂破坏。

脆性断裂的判据（或极限条件） $\varepsilon_1 = \frac{\sigma_u}{E}$

$$\text{即 } \frac{\sigma_1 - \mu(\sigma_2 + \sigma_3)}{E} = \frac{\sigma_u}{E} \quad \text{或} \quad \sigma_1 - \mu(\sigma_2 + \sigma_3) = \sigma_u$$

强度条件 $\sigma_1 - \mu(\sigma_2 + \sigma_3) \leq [\sigma]$

《应用评价》

主应力有压应力时，当 $|\sigma_3| > \sigma_1$ ，理论接近实验但不完全符合。

其它情况下，不如第一强度理论。

《讨论》

除了 σ_1 ，还有 σ_1, σ_2 的参与，似乎更有理，但与实验结果不是非常吻合。理论的正确与否应经实验验证。

3. 最大切应力理论（第三强度理论）—Tresca准则

1868年，Henri Tresca 给出

《失效准则》

最大切应力是引起材料塑性屈服的原因。

具体说：不管在什么应力状态下，只要构件内一点处的最大切应力达到了材料屈服时的极限值（单向拉伸情形屈服时的切应力），就发生屈服。

屈服判据（或极限条件） $\tau_{\max} = \tau_u = \frac{\sigma_s}{2}$

《应用评价》

$$\text{即 } \frac{\sigma_1 - \sigma_3}{2} = \frac{\sigma_s}{2} \quad \text{或} \quad \sigma_1 - \sigma_3 = \sigma_s$$

强度条件 $\sigma_1 - \sigma_3 \leq [\sigma]$

实验表明：理论偏于安全，
差异有时达15%
原因：未考虑 σ_2 的影响。

4. 畸变能密度理论(第四强度理论) — Mises准则

1913年 R. von Mises 提出该理论

《失效准则》

形状改变能密度是引起材料塑性屈服的原因

具体说：不管在什么应力状态下，只要构件内一点处的形状改变能密度达到材料的极限值（单向拉伸情形屈服时的形状改变能密度），就发生屈服。


屈服判据（或极限条件） $v_d = v_{du}$

屈服判据（或极限条件） $v_d = v_{du}$

单向拉伸

$$\sigma_1 = \sigma_s$$

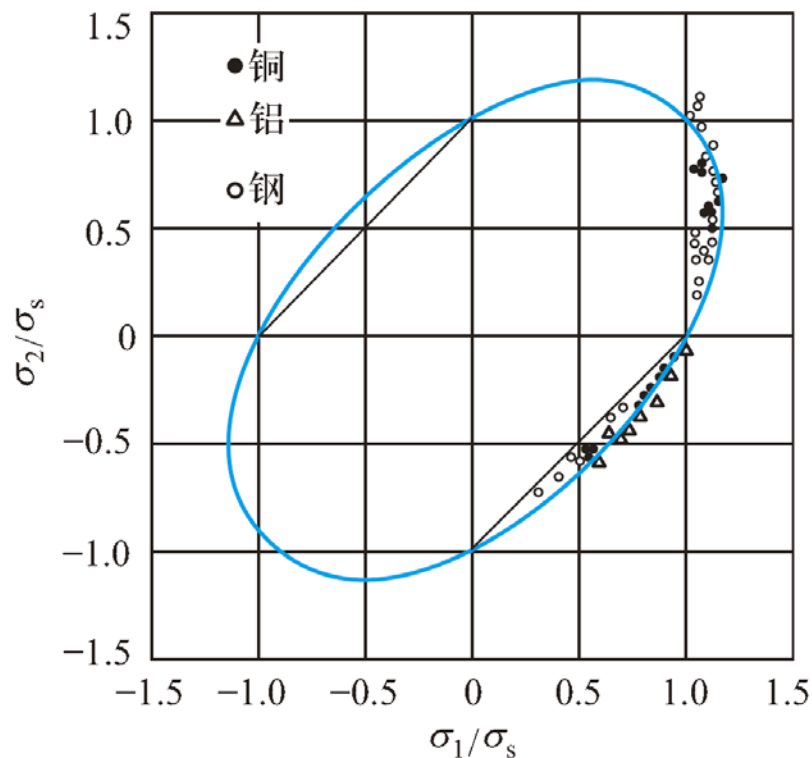
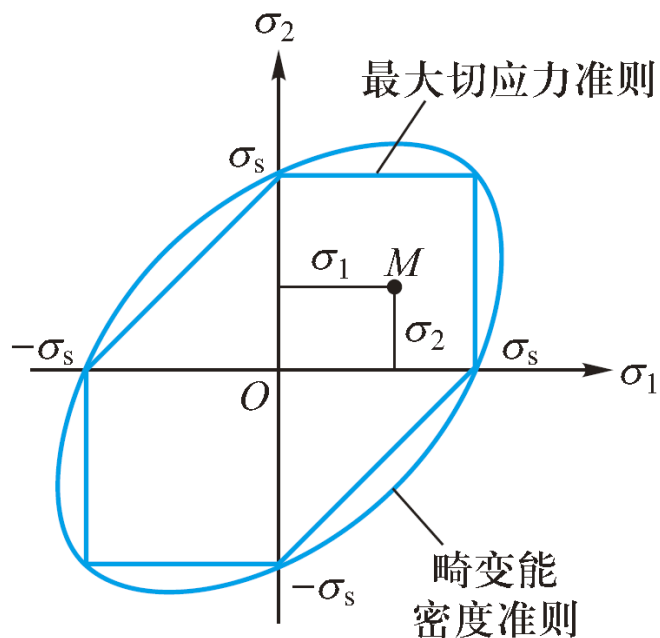
$$\sigma_2 = \sigma_3 = 0$$


$$v_d = \frac{1+\mu}{6E} \left[(\sigma_1 - \sigma_2)^2 + (\sigma_2 - \sigma_3)^2 + (\sigma_3 - \sigma_1)^2 \right]$$
$$v_{du} = \frac{1+\mu}{6E} (\sigma_s^2 + 0^2 + \sigma_s^2) = \frac{1+\mu}{6E} \cdot 2\sigma_s^2$$

则有 $\sqrt{\frac{1}{2} \left[(\sigma_1 - \sigma_2)^2 + (\sigma_2 - \sigma_3)^2 + (\sigma_3 - \sigma_1)^2 \right]} = \sigma_s$

强度条件 $\sqrt{\frac{1}{2} \left[(\sigma_1 - \sigma_2)^2 + (\sigma_2 - \sigma_3)^2 + (\sigma_3 - \sigma_1)^2 \right]} \leq [\sigma]$

《评价》



几种塑性材料钢、铜、铝的薄管试验资料表明，最大畸变能密度屈服准则与试验资料相当吻合，比第三强度理论更为符合试验结果。

5. 莫尔强度理论

是以各种应力状态下材料的破坏试验结果为依据，建立起来的带有一定经验性的强度理论。

主要用于材料在单轴拉伸和单轴压缩时强度明显不等的材料，例如铸铁、土。



俞茂宏（中国）

6. 双剪强度理论

“双剪统一强度理论及其应用” 2011年国家自然科学奖二等奖

三个主切应力 τ_{12} , τ_{23} , τ_{13} . 只有两个是独立的 $\tau_{13} = \tau_{12} + \tau_{23}$

最大切应力理论（第三强度理论）—单剪应力强度理论

Mao-hong Yu, Advances in strength theories for materials under complex stress state in the 20th Century, Appl. Mech. Rev., 2002, 55(3): 169-218.

俞茂宏, 强度理论百年总结, 力学进展, 2004, 34(4): 529-560 (32页) 【译自AMR】

二、相当应力（强度准则的统一形式）

$$\sigma_r \leq [\sigma] \quad \sigma_r \text{ — 相当应力 (equivalent stress)}$$

在材料破坏或失效方面，与复杂应力状态
应力相等效的单向应力！

$$\left\{ \begin{array}{l} \sigma_{r1} = \sigma_1 \\ \sigma_{r2} = \sigma_1 - \mu(\sigma_2 + \sigma_3) \\ \sigma_{r3} = \sigma_1 - \sigma_3 \\ \sigma_{r4} = \sqrt{\frac{1}{2}[(\sigma_1 - \sigma_2)^2 + (\sigma_2 - \sigma_3)^2 + (\sigma_3 - \sigma_1)^2]} \end{array} \right.$$

$$[\sigma] = \frac{1}{n} \{ \sigma_b, \sigma_{0.2}, \sigma_s \}$$

强度理论应用于确定许用切应力

在纯剪应力状态下，有强度条件：

$$\tau_{\max} \leq [\tau]$$

↑ 通常较难查到该数据！

可运用强度理论计算获得。

若采用第四强度理论：

$$\sigma_1 = \tau_{\max}, \quad \sigma_2 = 0, \quad \sigma_3 = -\tau_{\max}$$

$$\sigma_{r4} = \sqrt{\frac{1}{2}[(\sigma_1 - \sigma_2)^2 + (\sigma_2 - \sigma_3)^2 + (\sigma_3 - \sigma_1)^2]}$$

$$= \sqrt{3}\tau_{\max} \leq [\sigma] \Rightarrow \tau_{\max} \leq \frac{[\sigma]}{\sqrt{3}} \Rightarrow [\tau] = \frac{[\sigma]}{\sqrt{3}}$$

若采用第三强度理论:

$$\sigma_1 = \tau_{\max}, \quad \sigma_2 = 0, \quad \sigma_3 = -\tau_{\max}$$

$$\sigma_{r3} = \sigma_1 - \sigma_3 = 2\tau_{\max} \leq [\sigma]$$

$$\tau_{\max} \leq \frac{[\sigma]}{2}$$

$$[\tau] = \frac{[\sigma]}{2}$$

保守

$$[\tau] = \frac{[\sigma]}{\sqrt{3}} = 0.577[\sigma]$$

按第四强度理论

$$[\tau] = \frac{[\sigma]}{2} = 0.5[\sigma]$$

按第三强度理论

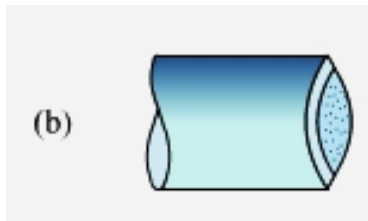
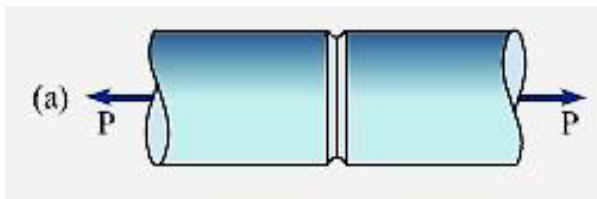
现行钢结构设计规范中，基本上是按照 $[\tau] = \frac{[\sigma]}{\sqrt{3}}$ 来规定许用切应力的。

各种强度理论的应用

实验表明：材料的破坏（或失效）不仅取决于材料是塑性材料或脆性材料，而且与其所处的应力状态（是否含有裂纹）、温度（高温）和加载速度（冲击荷载）等因素有关。

强度理论的选用原则：依破坏形式而定

低碳钢圆截面试件，在单向拉伸时会发生显著的屈服现象。



若在圆试件中部切出一个尖锐环形深切槽（图a所示）。

试验表明：直到拉断都看不到显著的屈服现象和塑性变形，而是在最弱部位发生脆断。其断口平齐，与铸铁拉伸断口相似（图b）。

像大理石这类脆性材料，对圆柱形试件施加轴向压力的同时，在圆柱形试件的表面施加径向压力，且保持径向压力小于轴向压力。试验表明，大理石试样也会发生显著的塑性变形，从原来的圆柱形变为腰鼓形，像低碳钢试件压缩一样。

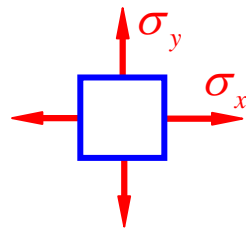
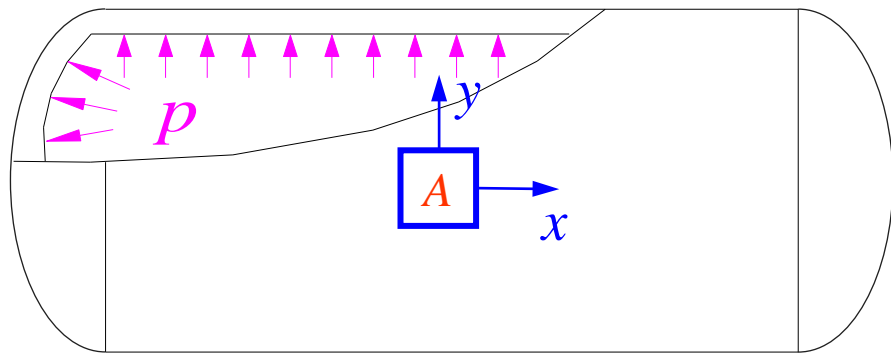
各种强度理论的适用范围简要归纳如下：

1. 不论是脆性还是塑性材料，在三向拉应力相近的情况下，都将以断裂的形式失效，宜采用最大拉应力理论。
2. 不论是脆性还是塑性材料，在三向压应力相近的情况下，通常都会引起塑性变形，宜采用第三或第四强度理论。
3. 通常来讲，对于脆性材料，宜采用第一或第二强度理论；对于塑性材料，宜采用第三或第四强度理论。

强度校核的基本步骤

1. 外力分析：载荷分析（化简），静定还是超静问题。
2. 内力分析：计算内力，确定危险截面；
3. 应力分析：确定危险点，画出单元体并确定各应力分量，求主应力；
4. 强度分析：选择适当的强度理论，计算相当应力，进行强度校核。

例1 两端封闭的薄壁钢圆筒受最大内压时，测得A点轴向应变 $\varepsilon_x = 188 \times 10^{-6}$ ，环向应变 $\varepsilon_y = 737 \times 10^{-6}$ ，用第三强度理论校核其强度。（ $E = 210\text{GPa}$, $[\sigma] = 200\text{MPa}$, $\mu = 0.3$ ）



解：画A点单元体及各面上的应力
由广义虎克定律得，

$$\sigma_x = \frac{E}{1 - \mu^2} (\varepsilon_x + \mu \varepsilon_y)$$

$$\sigma_y = \frac{E}{1 - \mu^2} (\varepsilon_y + \mu \varepsilon_x)$$

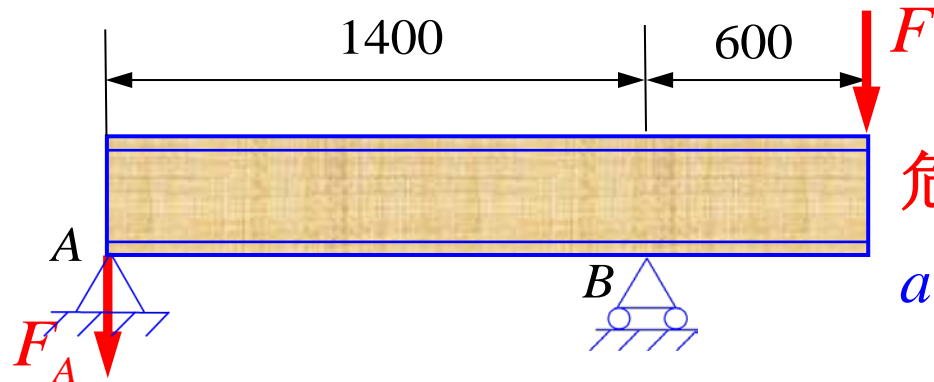
$$\sigma_x = \frac{210 \times 10^9}{1 - 0.3^2} \times (188 + 0.3 \times 737) \times 10^{-6} = 94.4\text{MPa}$$

$$\sigma_y = \frac{210 \times 10^9}{1 - 0.3^2} \times (737 + 0.3 \times 188) \times 10^{-6} = 183.1\text{MPa}$$

$$\sigma_{r3} = \sigma_1 - \sigma_3 = 183.1\text{MPa} < [\sigma] = 200\text{MPa}$$

此容器满足第三强度理论的强度条件。

例2 图示焊接外伸**钢梁**，右端受竖直向下的载荷 $F=130\text{kN}$ 。
已知许用应力 $[\sigma]=170\text{MPa}$ ，截面尺寸如图所示，惯性矩
 $I_z=7.07\times 10^{-5}\text{m}^4$ ，试用第四强度理论校核该梁的强度。



危险点：
 a, b, c 三点

解：求支座约束力

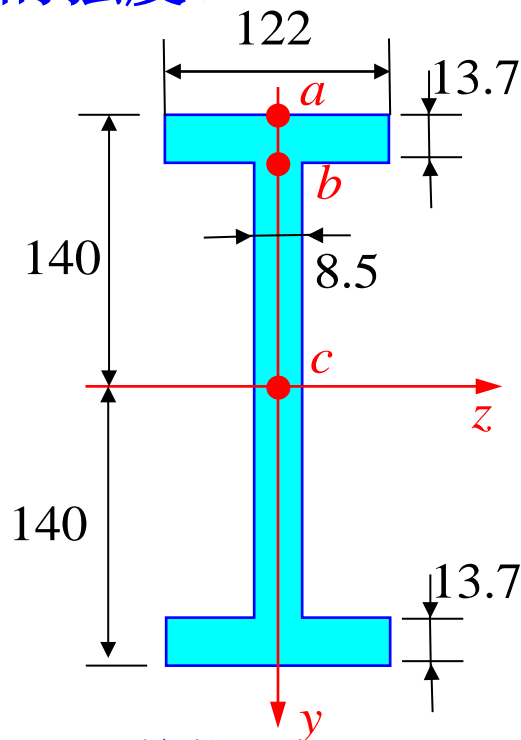
$$F_A = \frac{600}{1400} F = 55.71 \text{ kN}$$

$$M_B = 78.0 \text{ kN} \cdot \text{m}$$

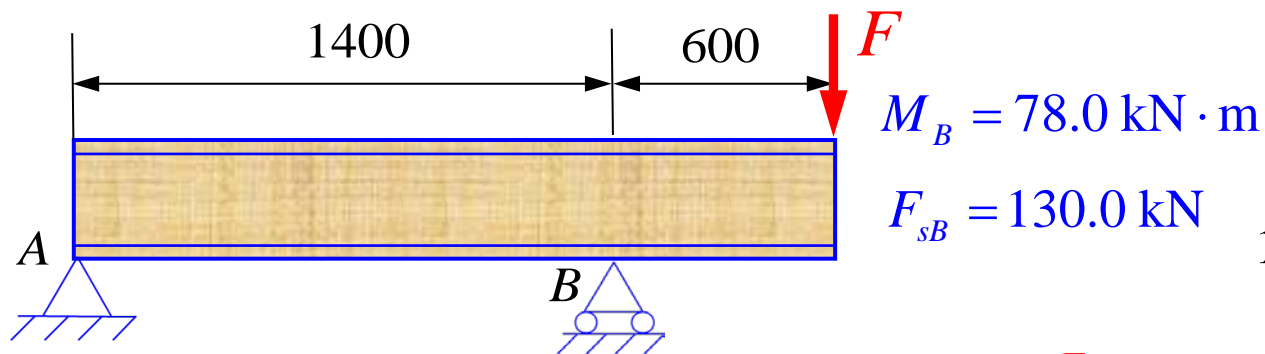
(上部受拉)

$$F_{sB} = 130.0 \text{ kN}$$


危险截面： B 支座处的右截面 (方向向下)



单位：mm



1. a 点(单轴拉伸应力状态):

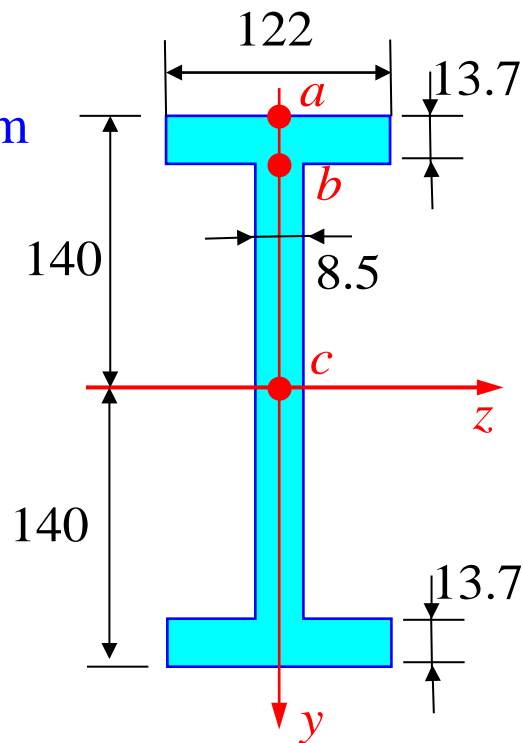


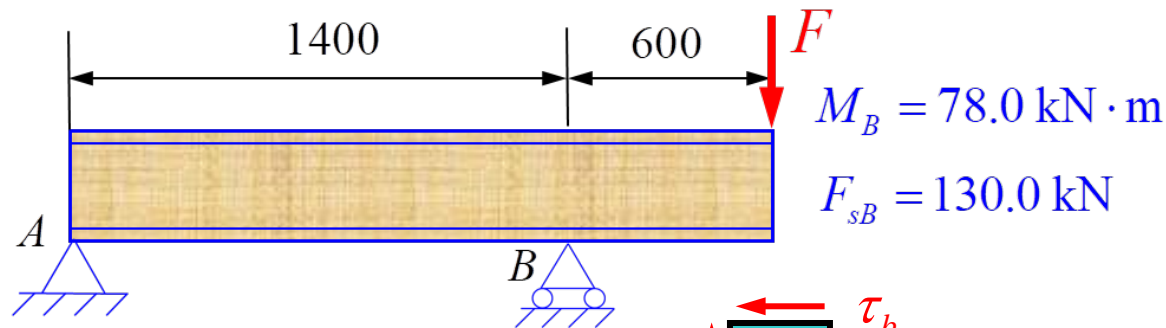
$$\sigma_a = \frac{M_B y_a}{I_z} = \frac{78 \times 10^3 \times 140 \times 10^{-3}}{7.07 \times 10^{-5}} = 154.4 \text{ MPa}$$

$$\sigma_1 = 154.4 \text{ MPa}, \quad \sigma_2 = 0, \quad \sigma_3 = 0$$

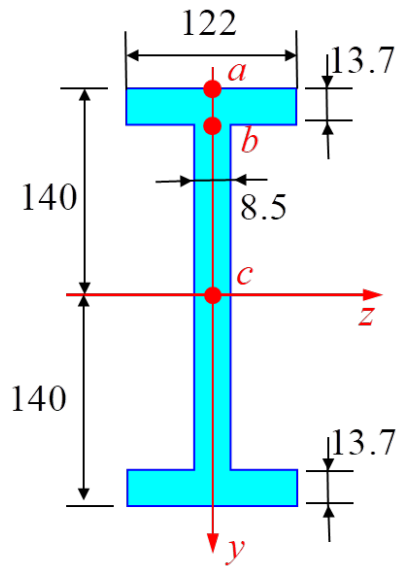
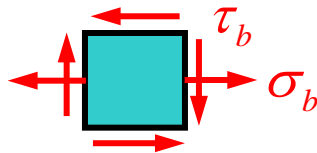
$$\sigma_{r4} = \sqrt{\frac{1}{2}[(\sigma_1 - \sigma_2)^2 + (\sigma_2 - \sigma_3)^2 + (\sigma_3 - \sigma_1)^2]}$$

$$= \sigma_1 = 154.4 \text{ MPa} < [\sigma] = 170 \text{ MPa} \quad a \text{点安全!}$$





2. b 点(二向应力状态):



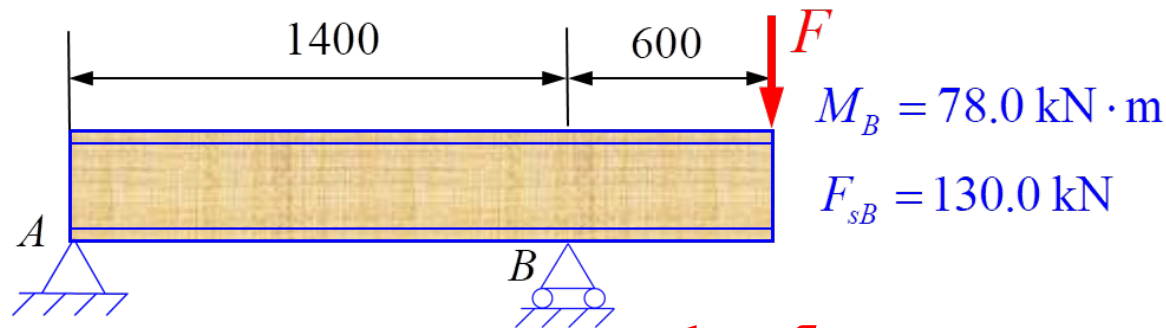
$$\sigma_b = \frac{M_B y_b}{I_z} = \frac{78 \times 10^3 \times 126.3 \times 10^{-3}}{7.07 \times 10^{-5}} = 139.3 \text{ MPa}$$

$$\tau_b = \frac{F_{sB} S_{zb}}{I_z t_{\text{腹板}}} = \frac{130 \times 10^3 \times 2.225 \times 10^{-4}}{7.07 \times 10^{-5} \times 8.5 \times 10^{-3}} = 48.1 \text{ MPa}$$

$$\sigma_1 = \frac{\sigma_b}{2} + \sqrt{\left(\frac{\sigma_b}{2}\right)^2 + \tau_b^2} = 154.3 \text{ MPa}, \quad \sigma_2 = 0, \quad \sigma_3 = \frac{\sigma_b}{2} - \sqrt{\left(\frac{\sigma_b}{2}\right)^2 + \tau_b^2} = -15.0 \text{ MPa}$$

$$\sigma_{r4} = \sqrt{\frac{1}{2}[(\sigma_1 - \sigma_2)^2 + (\sigma_2 - \sigma_3)^2 + (\sigma_3 - \sigma_1)^2]} = 162.3 \text{ MPa} < [\sigma] = 170 \text{ MPa}$$

b 点安全!



3. c 点(纯剪切应力状态):

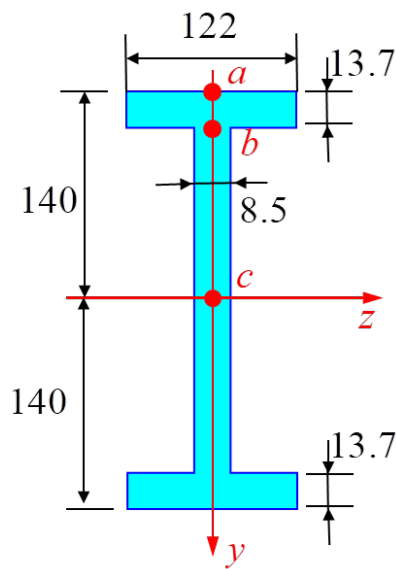
$$\tau_c = \frac{F_{sB} S_{z,\max}}{I_z t_{\text{腹板}}} = \frac{130 \times 10^3 \times 2.90 \times 10^{-4}}{7.07 \times 10^{-5} \times 8.5 \times 10^{-3}} = 62.8 \text{ MPa}$$

$$\sigma_1 = \tau_c = 62.8 \text{ MPa}, \quad \sigma_2 = 0, \quad \sigma_3 = -\tau_c = -62.8 \text{ MPa}$$

c 点安全!

$$\sigma_{r4} = \sqrt{\frac{1}{2}[(\sigma_1 - \sigma_2)^2 + (\sigma_2 - \sigma_3)^2 + (\sigma_3 - \sigma_1)^2]} = \sqrt{3}\tau_c = 108.7 \text{ MPa} < [\sigma] = 170 \text{ MPa}$$

综上, 该梁的强度满足第四强度理论的强度条件!



谢谢各位！

作业 P280-281: 7.37、7.40、7.41

对应第6版的题号 P273: 7.36、7.39、7.40

下次课 第八章 组合变形